

## ЗАДАЧА ДИНАМІЧНОЇ ЛОКАЛІЗАЦІЇ ТОЧКИ НА НЕЗВ'ЯЗНОМУ ГРАФІ

---

**Анотація.** У статті запропоновано розв'язок задачі динамічної локалізації точки на незв'язному графі за час  $O(\log N)$  з використанням  $O(N)$  пам'яті. Розроблено структуру даних на основі червоно-чорного дерева, що підтримує операції вставки і вилучення ребер за час  $O(\log N)$ , а також введено порядок над відрізками в середині смуги і знаходження сусіднього ребра.

**Ключові слова:** локалізація точки, незв'язний граф, вставка ребра, вилучення ребра, смуга, структура даних.

**Аннотация.** В статье предложено решение задачи динамической локализации точки на несвязном графе за время  $O(\log N)$  с использованием  $O(N)$  памяти. Разработано структуру данных на основе красно-черного дерева, которая поддерживает операции вставки и удаления ребер за время  $O(\log N)$ , а также введен порядок над отрезками внутри полосы и поиск соседнего ребра.

**Ключевые слова:** локализация точки, несвязный граф, вставка ребра, удаление ребра, полоса, структура данных.

**Abstract.** In this paper we propose solving a problem of dynamic point localization on a disconnected graph during  $O(\log N)$  time and using  $O(N)$  memory. The data structure of the base of red-and-black tree supporting an edge insert/delete operations using  $O(\log N)$  time was developed. Segments order within a slab and finding neighbour edge clockwise was established.

**Keywords:** point localization, disconnected graph, edge insert/delete, slab, data structure.

### 1. Вступ

**Постановка проблеми.** В роботі розглядається один із підходів до розв'язання задачі динамічної локалізації точки (далі ДЛТ) у двовимірному випадку. Як і для будь-якої динамічної задачі обчислювальної геометрії, побудова ефективних алгоритмів розв'язання задачі ДЛТ, навіть для площини, є не простим завданням. А тому актуальним є пошук підходів, які б давали водночас ефективні і прості рішення задачі. Розв'язки задачі ДЛТ мають широкі практичне застосування, зокрема, в ГІС-системах, графіці і базах даних [1]. Одним із прикладів застосування задачі є задача визначення місцезнаходження, де графом є сітка доріг, а як запитна точка – координати GPS [2]. Крім того, задача ДЛТ являється будівничим блоком для цілої низки задач в середині самої обчислювальної геометрії [3].

**Аналіз останніх досліджень.** Першим, хто взявся за розв'язання задачі ДЛТ в установлених обмеженнях, був Б. Чазеле. У 1983 році для розв'язання задачі він запропонував громіздку структуру даних, яку назвав *hive graph* [4]. Застосуванню традиційних статичних підходів, що задовольняли установленим межам (методи трапецій, ланцюгів і Кіркпатріка), заважало те, що вся логіка в них зосереджена в передобробці, що неприпустимо для динамічного випадку. У 1986 році Коул розробив метод, який зменшував об'єм використаної пам'яті на базі традиційного методу смуг Ліптона до  $O(N)$  [5]. З'явилася ідея модифікувати алгоритм для динамічного випадку, і у 1986 році вийшла праця Н. Сарнака і Р. Тар'яна [6], в якій пропонувалось застосувати до методу Добкіна-Ліптона таку динамічну структуру даних, як червоно-чорне дерево. Саме втілення ідей Сарнака-Тар'яна з певними модифікаціями є метою статті.

Як альтернативу складному в реалізації червоно-чорному дереву у 2004 році запропоновано метод перепозначення Дітца-Слетора [7, 8]. Але цей метод має ваду, хоча в середньому він має хороші показники, в найгіршому випадку він не працює за логарифмічний час [9]. Тому в основі запропонованого методу лежить використання червоно-чорного дерева. Сучасні публікації пропонують як альтернативу методи, що засновуються на теорії ймовірності [1, 10]. Детально вивчається вузьке місце динамічної локалізації точки – проблема вводу-виводу [11, 12]. Крім того, стверджується, що при застосуванні суперкомп'ютерів можна подолати давнє обмеження на час запиту в  $O(\log N)$  [13, 7].

*Новизна та ідея.* У роботі запропоновано ефективну модифікацію методу Сарнака-Тар'яна для випадку незв'язного графа на основі нової структури даних (модифікованого червоно-чорного дерева), що підтримує операції вставки і вилучення за час  $O(\log M)$ .

## 2. Постановка та побудова розв'язку задачі

Традиційна постановка задачі локалізації точки має такий вигляд.

**Загальна постановка задачі.** Нехай задані  $N$  – вершинне розбиття простору  $G(V, E)$  і точка  $Z$ . Визначити область розбиття, яка містить точку  $Z$ . Оскільки розглядається лише двовимірний випадок, розбиття матиме вигляд планарного графа [3]. Динамічність задачі полягає у можливості додавати і вилучати ребра графа без повної перебудови структури пошуку. Таким чином, для площини матимемо таке формулювання задачі.

**Постановка задачі.** Розробити ефективний алгоритм динамічної локалізації точки на площині та структуру даних, яка підтримує локалізацію точки з операцією вставки та вилучення за час  $O(\log N)$ , з використанням  $O(N)$  пам'яті.

Розглянемо існуючі підходи до розв'язання задачі локалізації точки. Одним із найбільш відомих є метод смуг, запропонований Ліптоном ще в 1973 році [3]. Суть його полягає у тому, що ми розбиваємо нашу площину на смуги у відповідності з вершинами графа. Будемо вважати, що смуга визначається своєю лівою абсцисою. При виконанні запиту на пошук здійснюється бінарний пошук у списку смуг, утворених вертикалями, які проходять через кожну вершину графа і упорядкованих по  $x$ -координаті. В середині кожної смуги формується список відрізків, упорядкованих по  $y$ -координаті. Таким чином, ми отримуємо верхній та нижній відрізки, які локалізують точку  $Z$ . Звичайний метод смуг у найгіршому випадку вимагає  $O(N^2)$  пам'яті, проте Коул [5] дослідив можливість зменшення цієї оцінки до  $O(N)$ . Так, він розглядає таку проблему: нехай дана послідовність  $k$ -списків, кожен з яких довжиною  $N$ , і при цьому сусідні списки відрізняються не більше, як на  $h$  елементів. Запропонувати таку структуру даних, яка б дозволяла знаходити список елементів між  $i$ -м та  $j$ -м списками за час  $O(j-i+\log N)$  [14].

Будемо вважати, що  $i$ -й список ставиться у відповідність  $i$ -му рядку матриці. Кожний список розглядається як бінарне дерево, в якому ліві і праві підсписки відносно медіани розглядаються як піддерева, що зберігаються рекурсивно. Якщо послідовність сусідніх дерев має ідентичні ліві або праві піддерева, ми зберігаємо лише один екземпляр піддерева, і всі дерева ділять однакові піддерева. Така процедура, яка зберігає місце, повторюється рекурсивно, окремо для лівих і правих піддерев. Після цього ми все ще можемо здійснити бінарний пошук за час  $O(\log N)$  [5]. Це дозволяє зменшити використання пам'яті до  $O(N+h\log(N))$  [5]. Оскільки у методі смуг сусідні смуги відрізняються лише на одну точку, в нашому випадку  $h=1$ . Отже, після редукції Коула ми маємо структуру, яка займає  $O(N)$ . Тепер повернемося до застосування цієї редукції для задачі локалізації точки.

Введемо відношення порядку над вершинами графа. Нехай  $e$  і  $f$  вершини графа. Введемо порядок  $e < f$  на множині вершин графа, якщо існує лінія  $x = c$ , яка перетинає  $e$  і  $f$  так, що перетин  $e$  відбувається на меншому значенні  $y$ . Якщо за вісь абсцис взяти час, тоді, застосовуючи вищеописану структуру даних, отримаємо розв'язок задачі статичної локалізації точки з оцінками  $O(N, \log N)$ .

## 2.1. Червоно-чорне дерево

Майже повна відсутність логічної частини, винесеної у попередню обробку, максимально спрощує динамізацію статичного методу Ліптона [3]. Все, що необхідно, – це створити дерева, по яких ведеться пошук, використовуючи динамічні структури даних. Як варіант можна розглядати 2–3-дерева або АВЛ-дерева, але більш традиційним підходом є застосування червоно-чорного дерева, приклад якого подано на рис. 1 [6].

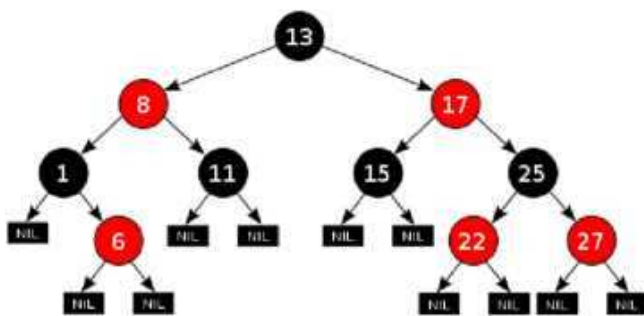


Рис. 1. Червоно-чорне дерево

При додаванні і вилученні ці властивості можуть порушуватися. Для їх відновлення проводиться попередній аналіз із застосуванням зміщення, як показано на рис. 2.

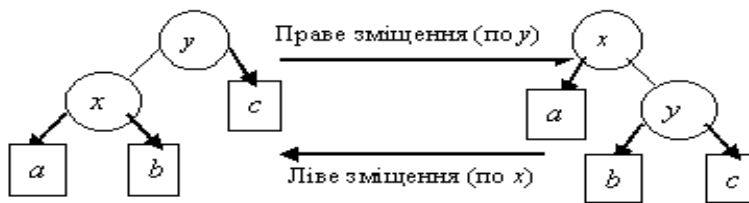


Рис. 2. Зміщення в динамічному дереві

правилами, вказаними в роботі [6], де описані чотири правила балансування для додавання вершини і п'ять правил для вилучення. Червоні вершини позначено білим. Доведено, що при балансуванні після вставки виконується не більше двох зміщень, а при балансуванні після вилучення – не більше трьох [15]. Отже, процедура балансування проводиться за час  $O(1)$ .

## 2.2. Локалізація в червоно-чорному дереві

Для розв'язання поставленої нами задачі (динамічної локалізації точки) побудуємо структури даних для пошуку у вигляді червоно-чорного дерева, тобто представимо дерева смуг і відрізків червоно-чорними, і таким чином ми отримуємо динамічну структуру даних.

У контексті нашої задачі важливою функцією червоно-чорного дерева є не традиційний пошук, а локалізація – визначення правого та лівого сусідів. Саме тому на етапі ініціалізації ми додаватимемо в дерево праву та ліву межі (для пошуку по смугах) або верхню і нижню (для пошуку по відрізках). У цьому випадку алгоритм локалізації суттєво спрощу-

Червоно-чорне дерево – це двійкове дерево пошуку, яке має такі властивості:

1. Кожна вершина має атрибут колір, який може бути або червоним, або чорним.
2. Кожен листок – NIL і чорний.
3. Якщо вершина червона, то обидва її сини чорні.
4. Всі шляхи, що йдуть вниз до листків, мають однакову кількість чорних вершин [15].

Застосовуючи це зміщення, при кожному додаванні або вилученні ми здійснюємо рух по дереву, виконуючи процедуру балансування, яка відновлює втрачені властивості червоно-чорного дерева. Балансування здійснюється за пра-

ється, а саме: рухаючись вниз по дереву праворуч, запам'ятовуємо даний елемент як лівого сусіда, ліворуч – запам'ятовуємо даний елемент як правого сусіда. На виході алгоритм видає пару <лівий сусід, правий сусід>.

### 2.3. Загальний алгоритм

Позначимо через  $xTree$  дерево смуг для пошуку по осі абсцис, а через  $yTree$  – дерево відрізків для пошуку по осі ординат при локалізації в середині локалізованої смуги.

1. Ініціалізація. На початку червоно-чорне дерево смуг  $xTree$  складається з двох меж полотна: лівої і правої.

2. При кожному додаванні точки ми додаємо до  $xTree$  нову смугу, що лежатиме праворуч від нової точки, до меж наступної смуги.

3. При кожному додаванні відрізка ми рухаємось по  $xTree$  і знаходимо смугу, в яку потрапляють ліва і права вершини. Додаємо вершини відрізка у множини  $insert$  і  $delete$  відповідно.

4. Визначаємо точку  $Z$ .

5. Якщо  $Z$  визначена, виконуємо локалізацію. Спочатку описаним вище алгоритмом 2.2, взявши абсцису запитної точки  $xz$ , локалізуємо смугу  $S$ , в яку потрапляє запитна точка.

6. В середині  $S$  ініціалізуємо червоно-чорне дерево відрізків  $yTree$ , включивши до нього відрізки, що співпадають з нижніми і верхніми границями полотна.

7. Рухаючись по дереву з двох сторін, аналізуємо множини  $insert$  і  $delete$  згідно з алгоритмом пошуку редукції Коула [5]. Якщо знаходимо відрізок, ліва точка якого міститься в  $insert$  смуги ліворуч, а права – в  $delete$  смуги праворуч, додаємо цей відрізок до  $yTree$ .

8. Ще раз застосовуємо алгоритм 2.2 і знаходимо відрізки, що локалізують  $Z$  зверху і знизу.

9. Побудова області локалізації. Алгоритм детально описано нижче.

## 3. Підзадачі

У більшості робіт і, зокрема в [6], пропонуються лише принципи розв'язання проблеми, не вдаючись до низькорівневих проблем реалізації. Тому на етапі програмної реалізації виникли задачі, для розв'язання яких запропоновані оригінальні алгоритми. Розглянемо основні з них.

### 3.1. Введення порядку над відрізками

Нехай дано деяку смугу  $S$ , яка включає прямі  $l_1, l_2 \in S$ . Для організації пошуку, згідно з алгоритмом 3.2, необхідно встановити над даними прямими відношення порядку. Для цього візьмемо деяку точку  $A \in l_2$  та визначимо її розташування відносно прямої  $l_1$ . У роботі [16] пропонується визначити порядок розташування за годинниковою стрілкою кінця і початку відрізка  $l_1$ , а також точки  $A$ . Існують й більш прості способи розв'язання цієї задачі. Наприклад, ми можемо скористатися рівнянням прямої

$$y(x) = \frac{(x - x_1)(y_2 - y_1)}{x_2 - x_1} + y_1,$$

де  $(x_1, y_1)$  і  $(x_2, y_2)$  – координати лівої і правої вершин відрізка  $l_1$  відповідно. Тепер підставимо у це рівняння абсцису точки  $A$  і порівняємо отримане значення з ординатою точки

А. Тоді, коли необхідно порівняти відрізки, за точку  $A$  обираємо точку перетину прямої  $l_2$  з лівою межею смуги  $S$ . Проте не завжди цей спосіб спрацьовує. Можна запропонувати приклад, де це має місце (рис. 3).

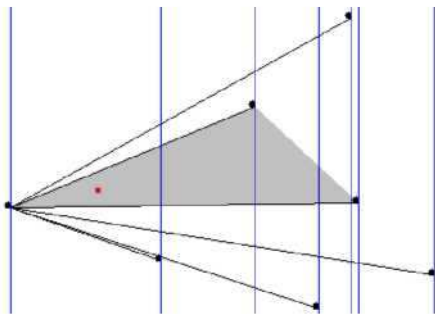


Рис. 3. Найгірший випадок для введення порядку над відрізками

У даному випадку ліва вершина  $l_1$  співпадає з точкою  $A$ , а отже, порядок може бути визначений невірно. Це залежатиме від того, до якої півплощини ми відноситимемо точку, що належить прямій. Тому додатково необхідно перевірити, чи не співпадають ліві точки  $l_1$  і  $l_2$ . Якщо це так, то за точку  $A$  обирається права вершина  $l_2$ .

### 3.2. Обведення області

Після того, як два відрізки локалізовано, постає задача виділення області, в якій лежить точка  $Z$ . У зв'язному графі це можна легко зробити, користуючись реберним списком з подвійними зв'язками: кожен відрізок містить посилання на наступний відрізок за годинниковою стрілкою. Тож рухаємось по списку, поки не отримаємо початковий відрізок.

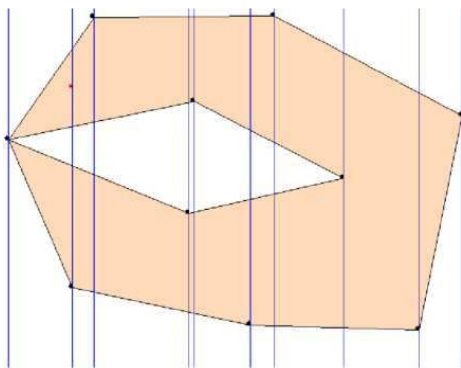


Рис. 4. Приклад локалізації з внутрішньою фігурою

У випадку ж незв'язного графа все не так просто. Необхідно придумати алгоритм, який би або повертав обведену область, або повідомляв про те, що область є незамкненою. Такий алгоритм було запропоновано шляхом введення обмеження на кількість внутрішніх фігур. Варто зазначити, що під внутрішніми фігурами розуміються фігури або ребра, які лежать в середині запитної області і мають з нею спільну точку (рис. 4).

У першу чергу, ми перевіряємо, чи не посилаються праві вершини локалізованих вузлів на самих себе. Якщо це так, очевидно, повертаємо FALSE. Інакше йдемо, починаючи з нижнього відрі-

зка, як і у звичайному випадку. Якщо зустрічаємо точку, яку вже проходили, вводимо лічильник повторних входжень. Якщо цей лічильник переважає обмеження, ми вважаємо, що зациклились і повертаємо FALSE. Повертаємо TRUE, якщо зайшли у початковий відрізок і проходили через верхній локалізований відрізок.

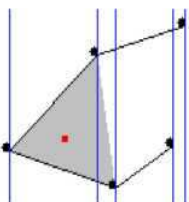


Рис. 5. Приклад проблемного встановлення обмеження на кількість внутрішніх фігур

На жаль, не завжди вдається встановити обмеження на кількість внутрішніх фігур більше, як на 1 (рис. 5). У даному випадку, починаючи з нижнього локалізованого відрізка, йдемо праворуч, одразу ж досягаємо кінця і йдемо у зворотному напрямку. За рахунок швидкого перевищення ліміту повторних входжень ребра алгоритм поверне FALSE. При більш слабких обмеженнях алгоритм працюватиме невірно.

### 4. Особливості реалізації

Особливістю даної реалізації є можливість роботи на незв'язному графі. Програма здатна виконувати два типи локалізації: для замкненої і незамкненої областей.

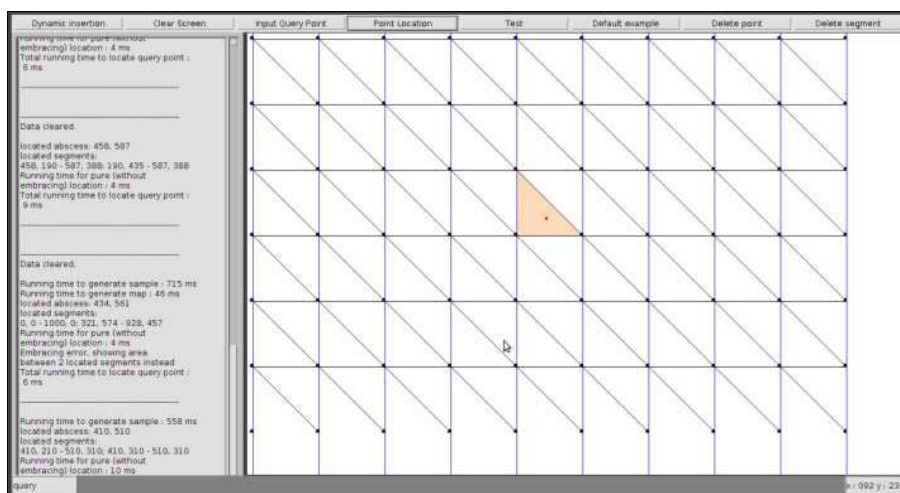


Рис. 6. Інтерфейс програми при стандартному тесті

На рис. 6 ілюструється інтерфейс програми для стандартного тесту.

Алгоритмічна частина програмної реалізації написана на мові Java, для графічного відображення використовується пакет `java.awt`. Програма спирається на графічний інтерфейс і деякі функції обчислювальної геометрії, запропоновані Луд-

маном і Депенаном [16]. Для реалізації червоно-чорного дерева частково використовувався програмний код з М. Вайса [17].

## 5. Обґрунтування оцінок складності

Оцінку складності обґрунтуємо, враховуючи час на основних кроках алгоритму за допомогою таких лем.

**Лема 1.** Червоно-чорне дерево з  $N$  внутрішніми вершинами має висоту не більше, як  $2 \log(N+1)$  (Кормен [15]).

**Лема 2.** Вставка і вилучення в червоно-чорному дереві проводиться за час  $O(\log(N))$  (Кормен [15]).

З формальним доведенням цих фундаментальних фактів про червоно-чорне дерево можна ознайомитись у роботі [15].

**Лема 3.** Методом червоно-чорного дерева локалізувати верхній і нижній відрізки можна за час  $O(\log(N))$ .

*Доведення.* Оскільки, за лемою 1, висота червоно-чорного дерева не перевищує  $2 \log(N+1)$ , алгоритм локалізації 2.5 працюватиме за час  $O(\log(N))$ . Під час запиту цей алгоритм застосовується двічі: в середині  $xTree$  і  $yTree$ . Звідси оцінка часу локалізації  $O(\log(N)) + O(\log(N)) = O(\log(N))$ .  $\square$

**Лема 4.** Метод червоно-чорного дерева використовує  $O(n)$  пам'яті.

*Доведення.* Традиційний метод смуг використовує  $O(N^2)$  пам'яті [3]. Використання методу Коула [5] дозволило зменшити об'єм пам'яті до  $O(N)$ , зберігаючи лише входження і виключення ребер. У загальному випадку маємо  $O(N)$  пам'яті.  $\square$

## 6. Висновки

У роботі запропоновано розв'язання динамічної задачі локалізації точки методом червоно-чорного дерева Сарнака-Тар'яна для випадку незв'язного графа. Розроблено ефективну динамічну структуру даних, що дозволяє розв'язати задачу з часом  $O(\log(N))$  і використанням  $O(N)$  пам'яті. Сама ідея розв'язання задачі має перспективу застосування для

тривимірного випадку. Проблема просторової локалізації точки досліджена значно гірше [18]. Коул [5] передбачав використання редукції для просторової локалізації і наводив свій алгоритм для тривимірного випадку.

## СПИСОК ЛІТЕРАТУРИ

1. Arge L. Improved Dynamic Planar Point Location / L. Arge, G.S. Brodai, L. Georgiadis // Proc. 47th Annual Symposium on Foundations of Computer Science. – USA, 2006. – P. 305 – 314.
2. Шашкин И. Локализация точки / Шашкин И. – СПб.: ЛЭТИ, 2008. – 214 с.
3. Препарата Ф. Вычислительная геометрия: Введение / Ф. Препарата, М. Шеймос. – М.: Мир, 1989. – 478 с.
4. Chazelle B. Filtering search: A new approach to query-answering / B. Chazelle // Proc. of 24th Annual IEEE Symposium on Foundations of Computer Science, (Tucson. Ariz. Nov. 7–9, 1983). – Tucson. Ariz., 1983. – P. 122 – 132.
5. Cole R. Searching and storing similar lists / R. Cole // J. Algorithms. – 1986. – Vol. 7, N 2. – P. 202 – 220.
6. Sarnak N. Planar Point Location Using Persistent Search Trees / N. Sarnak, R.E. Tarjan // Programming Techniques and Data Structures. – 1986. – Vol. 29, N 7. – P. 669 – 679.
7. Dynamic Point Location via Self-Adjusting Computation / K. Tangwongsan, G. Blelloch, U. Acar [et al.] // Proc. of 23-th annual symposium on Computational geometry. – New-York, USA, 2007. – P. 129 – 130.
8. Dietz P. Two algorithms for maintaining order in a list / P. Dietz, D. Sleator // Proc. 19th Annual ACM Symp. on Theory of Computing. – New-York, USA, 1987. – P. 365 – 372.
9. Two simplified algorithms for maintaining order in a list / M.A. Bender, R. Cole, E.D. Demaine [et al.] // Proc. 10th ESA. – London, UK, 2002 – P. 152 – 164.
10. Arya S. A Simple Entropy-Based Algorithm for Planar Point Location / S. Arya, T. Malamatos, D.M. Mount // SIAM J. Comput. – Philadelphia, USA, 2007. – P. 262 – 268.
11. I/O-Efficient Dynamic Point Location in Monotone Planar Subdivisions / P.K. Agarwal, L. Arge, G.S. Brodai [et al.] // Proc. of Tenth Annual ACM-SIAM Symposium on Discrete Algorithms (SODA'99). – Philadelphia, USA, 1999. – P. 11 – 20.
12. I/O-Efficient map overlay and point location in low-density subdivisions. / M. de Berg, H. Haverkort, S. Thite [et al.] // Tokuyama, editors, Proc. of the 18th Annual International Symposium on Algorithms and Computation (ISAAC 2007), LNCS. – 2007. – Vol. 4835. – P. 500 – 511.
13. Chan T.M. Transdichotomous Results in Computational Geometry, I: Point Location in Sublogarithmic Time / Chan T.M., Patrascu M. // SIAM Journal on Computing. – 2009. – Vol. 39, N 2. – P. 703 – 729.
14. Cole R. Geometric retrieval problems / R. Cole, C.K. Yap // Proc. of the 24th Annual Symposium on Foundations of Computer Science. – Washington, USA, 1983. – P. 112 – 121.
15. Кормен Т. Алгоритмы: построение и анализ / Кормен Т., Лейзерсон Ч., Рнвест Р. – М.: МЦМНО, 1999. – 960 с.
16. Brodal G.S. Planar point location using the DCEL / Brodal G.S., Depoyant G., Ludmann M. – Aarhus University, Denmark, 2010. – P. 456.
17. Weiss M.A. Data structures and algorithm analysis / Weiss M.A. – Addison. – Wesley, 2011. – P. 614.
18. Tan X.-H. Spatial Point Location and Its Applications / X.-H. Tan, T. Hirata, Y. Inagaki // Algorithms: International Symposium Sigal '90. – Tokyo, Japan, 1990. – P. 241 – 250.

*Стаття надійшла до редакції 03.09.2012*